

TECNOLÓGICO DE MONTERREY



FÍSICA EXPERIMENTAL I
PRÁCTICA NUMÉRICA 03

Propagación a través de medios ABCD

Names:

Rubén Darío Casso De León
Bernardo Barrera Godínez
Carla Judith López Zurita

A01196975
A01194182
A00822301

Profesor:

Raúl Hernández Aranda

Viernes 24 de abril, 2020

1. Propagación de un haz Gaussiano

Expresión analítica para la descripción de un haz gaussiano que se ha propagado a través de un medio ABCD.

Usando la integral de difracción generalizada:

$$18) \quad u_2(\vec{r}_2) = \frac{k e^{i k L}}{i 2 \pi B} \iint_{-\infty}^{\infty} u_1(\vec{r}_1) e^{\frac{i k}{2 B} (A r_1^2 - 2(x_1 x_2 + y_1 y_2) + D r_2^2)}$$

Considerando un haz gaussiano de la forma:

$$15) \quad u_1(\vec{r}_1) = e^{-r_1^2 / w_0^2}$$

Desarrollamos:

$$u_2(\vec{r}_2) = \frac{k e^{i k L}}{i 2 \pi B} \iint_{-\infty}^{\infty} e^{-\frac{x_1^2 + y_1^2}{w_0^2} + \frac{i k}{2 B} (A(x_1^2 + y_1^2) - 2x_1 x_2 - 2y_1 y_2 + D(x_2^2 + y_2^2))} dx_1 dy_1$$

Separamos la expresión en dos integrales:

$$u_2(\vec{r}_2) = \frac{k e^{i k L}}{i 2 \pi B} \int_{-\infty}^{\infty} e^{-\frac{x_1^2}{w_0^2} + \frac{i k}{2 B} (A x_1^2 - 2x_1 x_2 + D x_2^2)} dx_1 \int_{-\infty}^{\infty} e^{-\frac{y_1^2}{w_0^2} + \frac{i k}{2 B} (A y_1^2 - 2y_1 y_2 + D y_2^2)} dy_1$$

Nos enfocamos en el argumento de la primera integral:

$$- \left[\left(\frac{1}{w_0^2} - \frac{i k A}{2 B} \right) x_1^2 + \frac{i k}{B} x_1 x_2 - \frac{i k D}{2 B} x_2^2 \right]$$

completamos el cuadrado:

$$(\alpha x_1 + \beta x_2)^2 = \alpha^2 x_1^2 + 2\alpha\beta x_1 x_2 + \beta^2 x_2^2$$

Identificamos:

$$\alpha^2 = \frac{1}{w_0^2} - \frac{i k A}{2 B} \quad 2\alpha\beta = \frac{i k}{B} = 2\beta \sqrt{\frac{1}{w_0^2} - \frac{i k A}{2 B}} \quad \beta = \frac{i k}{2 B} \left(\frac{1}{w_0^2} - \frac{i k A}{2 B} \right)^{-1/2} \quad \beta^2 = \frac{-k^2}{4 B^2 \alpha^2}$$

Entonces la primera integral:

$$\int_{-\infty}^{\infty} e^{-(\alpha x_1 + \beta x_2)^2 + \left(\frac{i k D}{2 B} + \beta^2 \right) x_2^2} dx_1 = e^{\left(\frac{i k D}{2 B} + \beta^2 \right) x_2^2} \int_{-\infty}^{\infty} e^{-s^2} \frac{ds}{\alpha} = \frac{\sqrt{\pi}}{\alpha} e^{\left(\frac{i k D}{2 B} + \beta^2 \right) x_2^2}$$

Hacemos un cambio de variable $s = \alpha x_1 + \beta x_2$ $ds = \alpha dx_1$ para integrar fácilmente la gaussiana. Reconocemos el patrón para la otra integral, entonces $u_2(\vec{r}_2)$ resulta en:

$$u_2(\vec{r}_2) = \frac{k e^{i k L}}{i 2 \pi B} \left(\frac{\sqrt{\pi}}{\alpha} e^{\left(\frac{i k D}{2 B} + \beta^2 \right) x_2^2} \right) \left(\frac{\sqrt{\pi}}{\alpha} e^{\left(\frac{i k D}{2 B} + \beta^2 \right) y_2^2} \right)$$

Finalmente

$$u_2(\vec{r}_2) = \frac{k e^{i k L}}{i 2 B \alpha^2} e^{\left(\frac{i k D}{2 B} - \frac{k^2}{4 B^2 \alpha^2} \right) r_2^2} \quad \text{donde} \quad \alpha^2 = \frac{1}{w_0^2} - \frac{i k A}{2 B}$$

Figura 1: Expresión analítica para el haz gaussiano propagado con elementos ABCD

1.1. Un segmento de espacio libre de longitud $1.5 z_R$

Sustituimos los elementos de la matriz ABCD con los correspondientes a un segmento de espacio libre de distancia $1.5z_R$:

$$\begin{bmatrix} A & B \\ C & D \end{bmatrix} = \begin{bmatrix} 1 & 1.5z_R \\ 0 & 1 \end{bmatrix} \quad (1)$$

Lo cual resulta en la expresión:

$$U_2(\vec{r}_2) = \frac{\exp(ikL)}{1 + 3/2i} \exp\left(r_2^2 \frac{k}{2z_R} \frac{i}{3/2 - i}\right)$$

Se generaron las gráficas en Matlab con $w_0 = 0.15 \times 10^{-3}$ m:

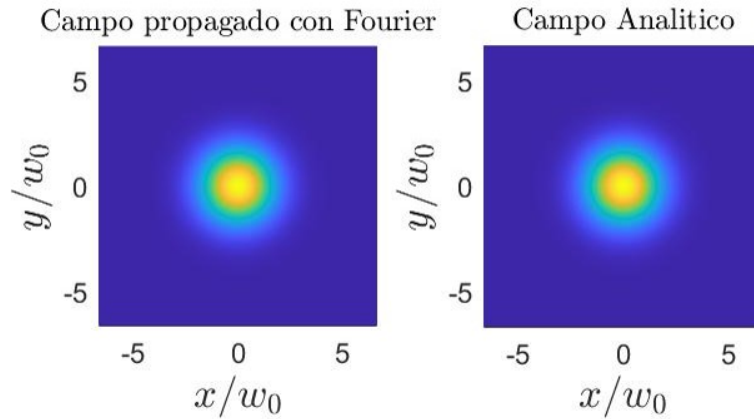


Figura 2: Comparación del campo transversal propagado numéricamente contra el campo analítico

1.2. Una lente delgada y convergente ($f = 5$ cm), seguida por un segmento de espacio libre de $1.5 z_R$

Una vez más, sustituimos los elementos de la matriz ABCD del lente convergente seguida por la del espacio libre (de derecha a izquierda), para obtener los valores necesarios:

$$\begin{bmatrix} A & B \\ C & D \end{bmatrix} = \begin{bmatrix} 1 & 1.5z_R \\ 0 & 1 \end{bmatrix} * \begin{bmatrix} 1 & 0 \\ -1/0.05 & 1 \end{bmatrix} = \begin{bmatrix} 1 - 30z_R & 1.5z_R \\ -20 & 1 \end{bmatrix} \quad (2)$$

Obtuvimos la expresión:

$$U_2(\vec{r}_2) = \frac{\exp(ikL)}{i[1.5 - i(1 - 30z_R)]} \exp\left(r_2^2 \frac{k}{3z_R} \left[i - \frac{1}{1.5 - i(1 - 30z_R)}\right]\right)$$

Se generaron las gráficas en Matlab con $w_0 = 0.15 \times 10^{-3}$ m, como se muestra en la figura 3.

Podemos observar que la luz que pasa a través del lente de distancia focal de 5 cm hace que el campo se enfoque a esta distancia después del origen, a comparación del campo que se propaga sin interrupción. Esto resulta que el segundo campo diverja en el plano de observación $z = 1.5z_R$.

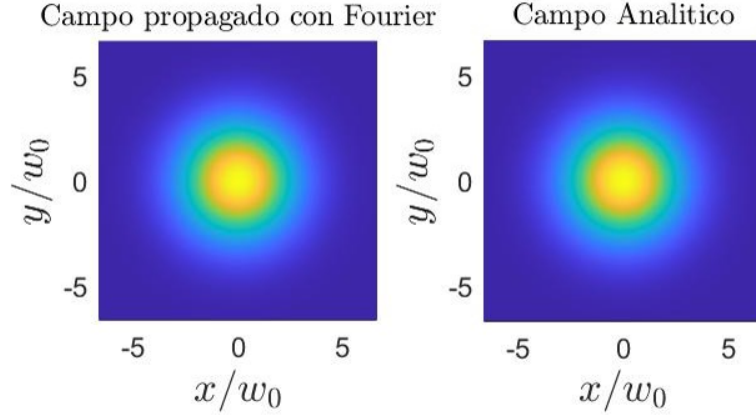


Figura 3: Comparación del campo transversal propagado numéricamente contra el campo analítico

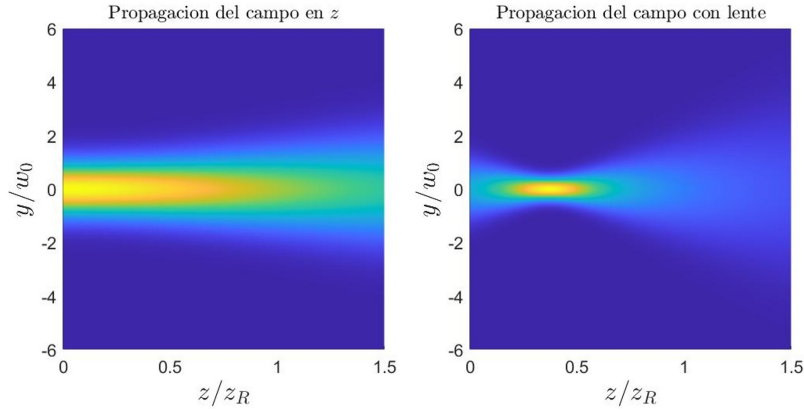


Figura 4: Comparación de los campos anteriores propagados en z

2. Propagación de haces Helmholtz-Gauss generalizados

Consideramos la distribución transversal de un haz HzG generalizado en un plano $z = z_1$, dada por el producto entre un factor Gaussiano y una función escalar W

$$U_1(\mathbf{r}_1) = \exp\left(\frac{ikr_1^2}{2q_1}\right)W(\mathbf{r}_1; k_1) \quad (3)$$

La función $W(\mathbf{r}_1; k_1)$ es una solución adifraccional de la ecuación de Helmholtz, y puede ser expresada de la siguiente forma

$$W(\mathbf{r}_1; k_1) = \int_{-\pi}^{\pi} g(\phi) \exp[ik_1(x_1 \cos \phi + y_1 \sin \phi)] d\phi \quad (4)$$

2.1. Distribución transversal del haz en el plano $z = z_2$

A continuación se muestra el procedimiento hecho para obtener la expresión transversal general de un haz Helmholtz-Gauss para una expresión dependiente de la fase $g(\phi)$ cualquiera en un plano z_2 .

$$2\pi U_1(\vec{r}_1) = e^{i \frac{K D}{2q_1}} W(\vec{r}_1; K_1) \quad W(\vec{r}_1; K_1) = \int_{-\pi}^{\pi} g(\phi) e^{i K_1 (x_1 \cos \phi + y_1 \sin \phi)} d\phi$$

Propagación ABCD: $U_2(\vec{r}_2) = \frac{K e^{i K L}}{i \pi B} \iint U_1(\vec{r}_1) e^{i \frac{K}{2B} (A r_1^2 - 2 x_1 x_2 + y_1 y_2 + D r_2^2)} d\vec{r}_1$

$$U_2(\vec{r}_2) = \frac{K e^{i K L}}{i \pi B} \iint e^{i \frac{K D}{2q_1} r_1^2 + \frac{K}{2B} (A r_1^2 - 2 x_1 x_2 + y_1 y_2 + D r_2^2)} \underbrace{\int_{-\pi}^{\pi} g(\phi) e^{i K_1 (x_1 \cos \phi + y_1 \sin \phi)} d\phi}_{W(\vec{r}_1; K_1)} dx_1 dy_1$$

$$= \frac{K e^{i K L}}{i \pi B} \int_{-\pi}^{\pi} g(\phi) d\phi \int_{-\infty}^{\infty} e^{i K \left[(x_1^2 + y_1^2) \left(\frac{1}{2q_1} + \frac{A}{2B} \right) \right] - x_1 \left(\frac{x_2}{B} - \frac{K_1 \cos \phi}{K} \right) - y_1 \left(\frac{y_2}{B} - \frac{K_1 \sin \phi}{K} \right)} dx_1 dy_1$$

Concentrándonos solo en $x_1 \rightarrow \int_{-\infty}^{\infty} e^{i K \left[\left(\frac{1}{2q_1} + \frac{A}{2B} \right) x_1^2 - \left(\frac{x_2}{B} - \frac{K_1 \cos \phi}{K} \right) x_1 \right]} dx_1$

Definimos: $\left\{ \begin{aligned} \frac{K}{2i} \left(\frac{1}{q_1} + \frac{A}{B} \right) &= \alpha \\ \frac{K}{i} \left(\frac{x_2}{B} - \frac{K_1 \cos \phi}{K} \right) &= \beta \end{aligned} \right. \quad \int_{-\infty}^{\infty} e^{-\alpha x_1^2 + \beta x_1} dx_1$

$$\frac{1}{\sqrt{\alpha}} \int_{-\infty}^{\infty} e^{-\left(u^2 - \frac{\beta}{\sqrt{\alpha}} u + \frac{\beta^2}{4\alpha}\right) + \frac{\beta^2}{4\alpha}} du = \frac{e^{\frac{\beta^2}{4\alpha}}}{\sqrt{\alpha}} \int_{-\infty}^{\infty} e^{-\left(u - \frac{\beta}{2\sqrt{\alpha}}\right)^2} du$$

$$w_1 = u - \frac{\beta}{2\sqrt{\alpha}} \rightarrow \frac{e^{\frac{\beta^2}{4\alpha}}}{\sqrt{\alpha}} \int_{-\infty}^{\infty} e^{-w_1^2} dw_1 = \sqrt{\frac{\pi}{\alpha}} e^{\frac{\beta^2}{4\alpha}}$$

$dw_1 = du$

Reemplazando las definiciones de α y β :

$$\sqrt{\frac{\pi}{\alpha}} \exp \left[i K \frac{\left(\frac{x_2}{B} - \frac{K_1 \cos \phi}{K} \right)^2}{\frac{2}{q_1} + \frac{2A}{B}} \right] = \sqrt{\frac{\pi}{\alpha}} \exp \left[-\frac{i B}{\alpha} \left(\frac{K}{\frac{B}{q_1} + A} \right) \left(\frac{x_2^2}{B^2} - \frac{2 K_1 x_2 \cos \phi}{B K} + \frac{K_1^2}{K^2} \cos^2 \phi \right) \right]$$

Tomando en consideración la integración en u_1 :

$$U_2(\vec{r}_2) = \frac{K e^{i K L}}{i \pi B} \left(\int_{-\pi}^{\pi} g(\phi) d\phi \right) \frac{\pi B}{\frac{K}{2} \left(\frac{B}{q_1} + A \right)} e^{i \frac{K D}{2B} r_2^2} e^{-i \frac{K_2 K}{2 A K B} r_2^2} e^{i K_2 (x_2 \cos \phi + y_2 \sin \phi)} e^{-\frac{i B K_2 K_2}{2 K}}$$

Podemos insertar los términos $\sin \phi$, $\cos \phi$ dentro de la integral de $g(\phi)$

$$U_2(\vec{r}_2) = \frac{e^{i K L}}{\frac{B}{q_1} + A} \underbrace{\left[\int_{-\pi}^{\pi} g(\phi) e^{i K_2 (x_2 \cos \phi + y_2 \sin \phi)} d\phi \right]}_{W(\vec{r}_2; K_2)} e^{-\frac{i B K_2 K_2}{2 K}} e^{i \left(\frac{K D}{2B} - \frac{K_2 K}{2 A K B} \right) r_2^2}$$

Ahora sólo debemos simplificar el término: $\frac{KD}{2B} - \frac{\kappa_2 K}{2\kappa_1 B}$

$$\frac{KD}{2B} - \frac{\kappa_2 K}{2\kappa_1 B} = \frac{K}{2B} \left[D - \frac{\kappa_2}{\kappa_1} \right] \text{ Sabemos que } \frac{\kappa_2}{\kappa_1} = \frac{1}{A + B/q_1}$$

$$= \frac{K}{2B} \left[D - \frac{1}{A + B/q_1} \right] = \frac{K}{2B} \left(\frac{DA + \frac{BD}{q_1} - 1}{A + B/q_1} \right) = \frac{K}{2B} \left(\frac{DAq_1 + BD - q_1}{Aq_1 + B} \right)$$

$$= \frac{K}{2} \left(\frac{\left[\frac{DA-1}{B} \right] q_1 + D}{Aq_1 + B} \right) \text{ Recordamos que el determinante de la matriz ABCD es unitario. Es decir, } AD - CB = 1 \therefore C = \frac{AD-1}{B}$$

$$= \frac{K}{2} \left(\frac{Cq_1 + D}{Aq_1 + B} \right) = \frac{K}{2q_2} \quad \times$$

Finalmente, el campo $U_2(\vec{r}_2)$:

$$U_2(\vec{r}_2) = e^{-i \frac{BK\kappa_2}{2K}} \underbrace{\left[\frac{e^{iKL}}{\frac{B}{q_1} + A} e^{i \frac{\kappa_2 r_2^2}{2q_2}} \right]}_{GB(\vec{r}_2, q_2)} \underbrace{\int_{-\pi}^{\pi} g(\phi) e^{i \kappa_2 (x_2 \cos \phi + y_2 \sin \phi)} d\phi}_{W(\vec{r}_2; \kappa_2)}$$

$$U_2(\vec{r}_2) = e^{-i \frac{BK\kappa_2}{2K}} GB(\vec{r}_2, q_2) W(\vec{r}_2; \kappa_2)$$

Figura 5: Expresión analítica transversal general de un haz Helmholtz-Gauss

2.2. Propagación de un haz Bessel-Gauss

Utilizando los resultados demostrados en el inciso anterior, se determinó la distribución transversal del haz en el plano $z = 1.5 z_R$ para el caso especial de un haz Bessel-Gauss de la forma

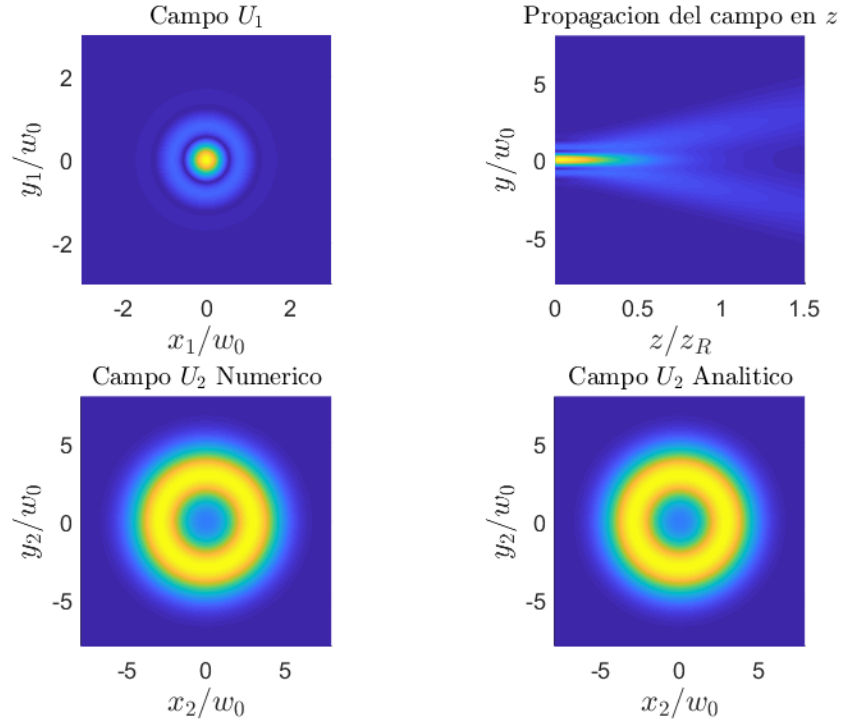
$$U_1(\mathbf{r}_1) = \exp\left(-\frac{r_1^2}{w_0^2}\right) J_m(\kappa_1 r_1) \exp(im\phi) \quad (5)$$

Con valores de $\kappa_1 = 8665 \text{ m}^{-1}$, $\lambda = 632,8 \text{ nm}$, y $\omega_0 = [0,5, 1,5, 3] \text{ mm}$, y para la matriz ABCD descrita en (1). Para ello, simplemente se sustituyó en (3) los siguientes valores:

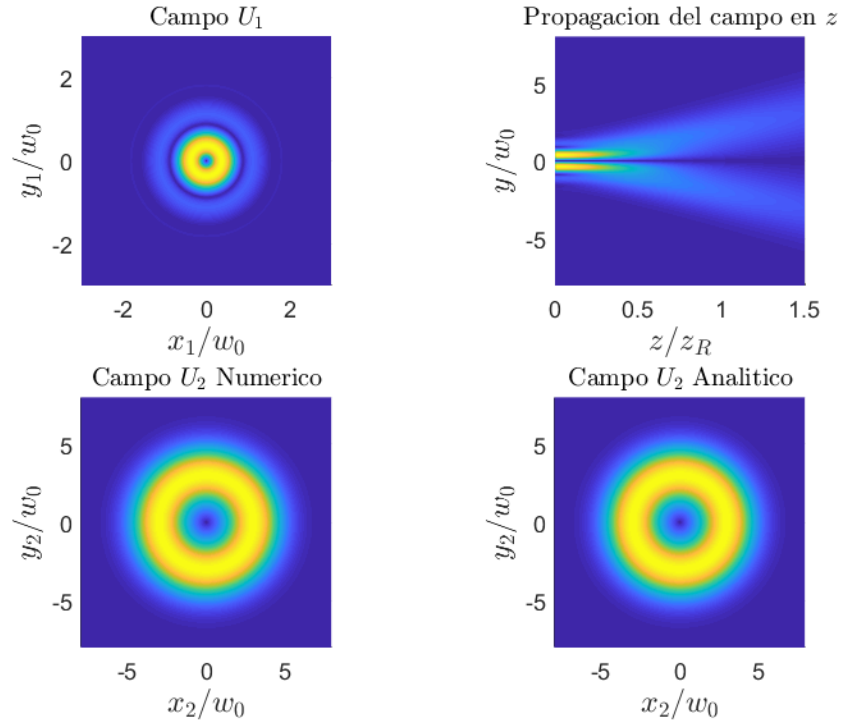
$$W(\mathbf{r}_1; \kappa_1) = J_m(\kappa_1 r_1) \exp(im\phi) \quad q_1 = -\frac{ik\omega_0^2}{2} \quad (6)$$

La expresión analítica para el campo propagado se obtuvo utilizando las transformaciones descritas en el inciso anterior para q_2 y κ_2 . A continuación se muestran figuras comparativas mostrando nuestros resultados analíticos, junto con la propagación numérica obtenida utilizando **PropFourier.m**. Como se aprecia en las figuras, los resultados son muy similares. Se observó que la propagación resulta en un campo con forma de anillo, que corresponde al espectro angular del haz Bessel-Gauss. Mientras aumenta el valor de ω_0 , la contribución Gaussiana disminuye y el campo inicial se asemeja más a un haz Bessel puro, lo cual resulta en un anillo más definido en el campo lejano.

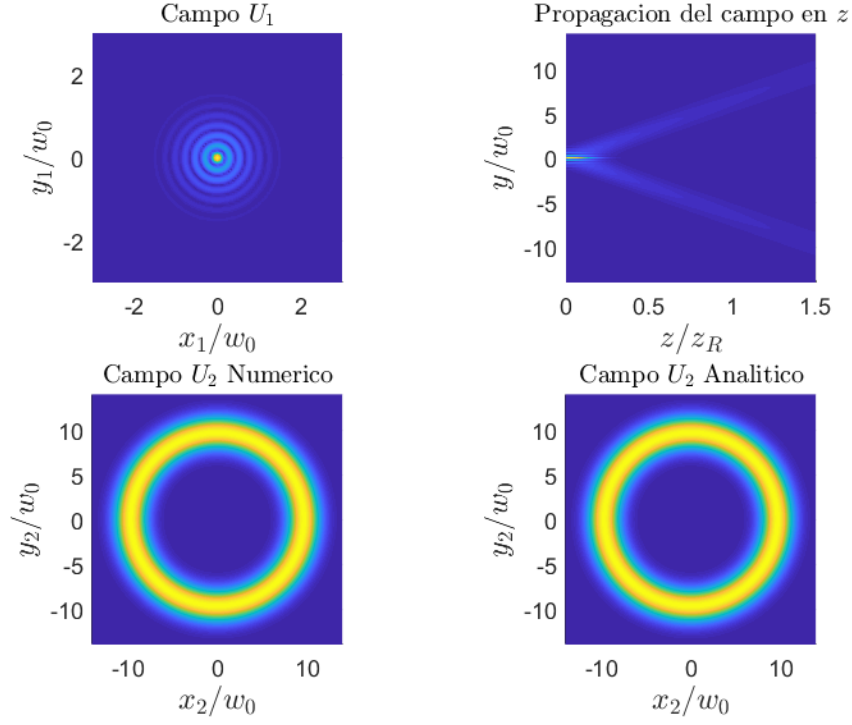
$$\omega_0 = 0.5 \text{ mm}, m = 0$$



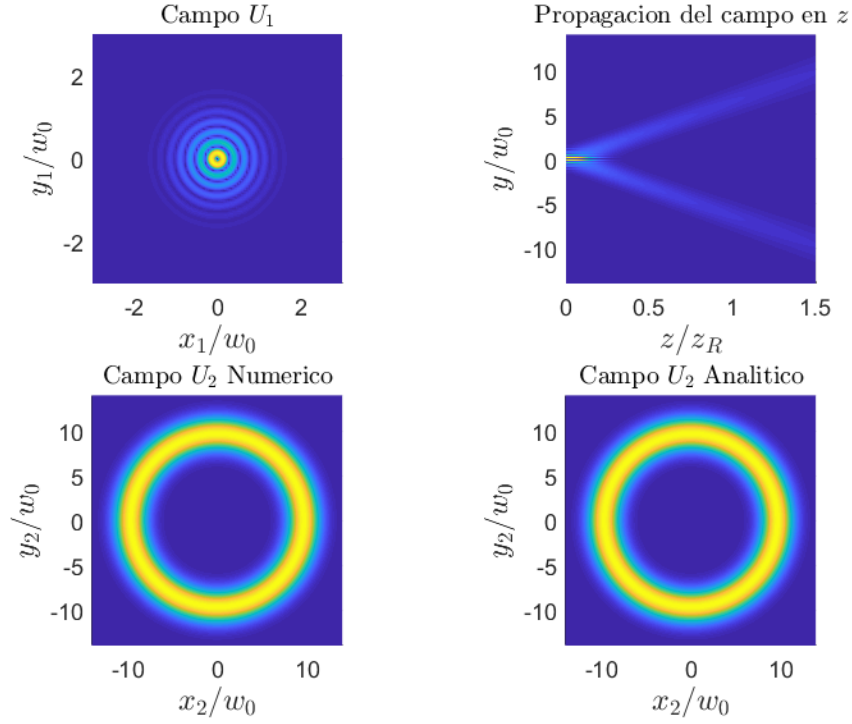
$$\omega_0 = 0.5 \text{ mm}, m = 1$$



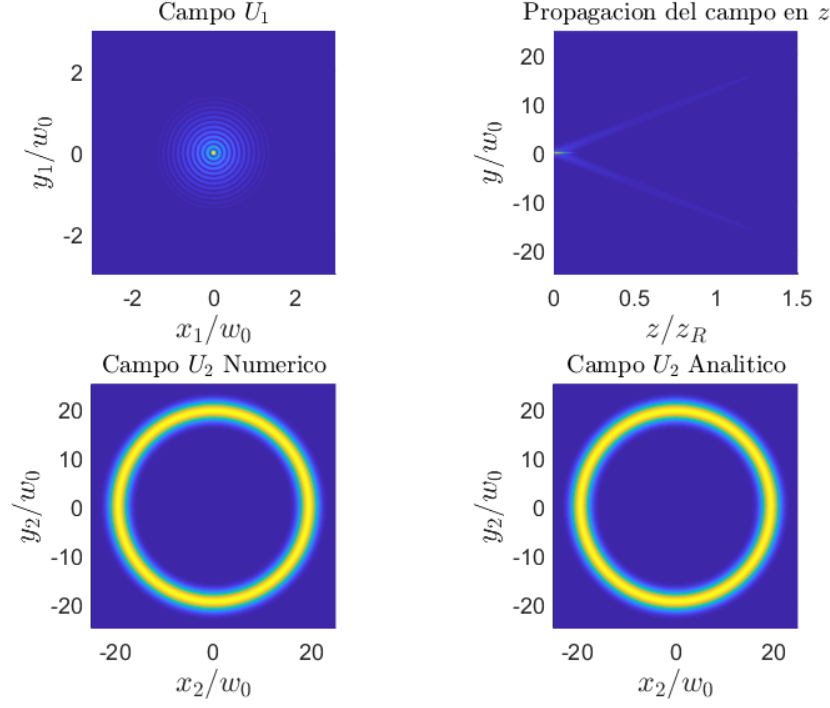
$$\omega_0 = 1.5 \text{ mm}, m = 0$$



$$\omega_0 = 1.5 \text{ mm}, m = 1$$



$$\omega_0 = 3 \text{ mm}, m = 0$$



$$\omega_0 = 3 \text{ mm}, m = 1$$

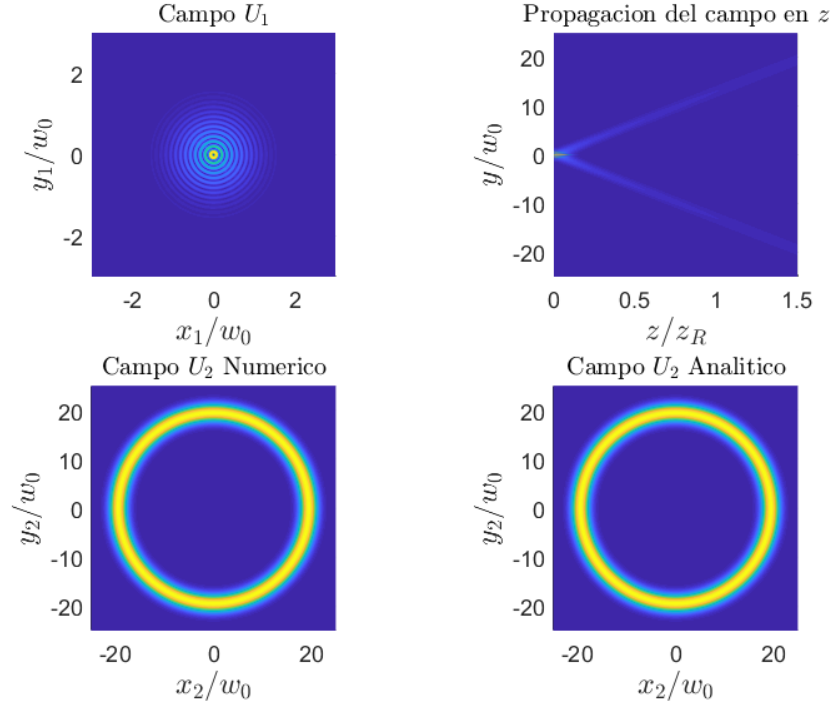


Figura 6: Campo U_1 propagado en z , y U_2 numérico y analítico propagado para diferentes valores de ω_0 y m

3. Código de Matlab

3.1. Ejercicio 1.a

```
1  % Propagador de Fourier
2  clear all; close all;
3  set(0,'defaultTextInterpreter','latex');
4
5  N = 2^10;                                % Numero de puntos
6
7  % Creamos el vector de indices
8  NV = (-N/2:1:N/2-1);                    % Con esto nos aseguramos de tener la
    frecuencia 0
9                                          % y de que NV tiene N elementos
10 L = 1e-3;                                % Las unidades son metros
11 dx = 2*L/N;
12 kmax = pi/dx;
13 [X,Y] = meshgrid(NV*dx);
14 [Kx,Ky] = meshgrid(kmax*2/N*NV);
15
16 lambda = 633e-9;
17 k = 2*pi/lambda;
18
19 r = sqrt(X.^2+Y.^2);
20 kt = sqrt(Kx.^2+Ky.^2);
21
22 w0 = 0.2e-3;                                % Cintura del haz Gaussiano
23 zR = k*w0^2/2;
24 z = 1.5*zR;                                %Distancia de propagacion maxima en unidades de la
    distancia de Rayleigh
25 nz = 300;
26 dz = z/nz;
27
28 %*****Propagador *****
29 Prop = (exp(-1i*0.5*dz*(kt.^2)/k));          %Full paraxial propagator
30 %Prop = exp(i*dz*sqrt(k^2-kt.^2));          %Non paraxial propagator
31
32 %*****Perfil Inicial*****
33 flens = 1; %0.3*zR;
34 Tlens = 1;                                % Funcion de transmitancia de
    lente
35 f = exp(-r.^2/w0^2).*Tlens;                % Haz Gaussiano
36
37 Ur = zeros(N,nz+1);
38 U0 = f;
39 Ur(:,1) = U0(:,N/2+1);
40
41 %*****Inicia la propagacion*****
42 F = fftshift(fft2(U0));
43 for ii=1:nz
44     F = F.*Prop;
45     A = ifft2(F);
46     Ur(:,ii+1)=A(:,N/2+1);
```

```

47 end
48
49 %*****Grafica del campo inicial*****
50 figure(2),subplot(1,2,1),surf(X(N/2+1,:)/w0,Y(:,N/2+1)/w0,abs(A));
    shading interp,lighting phong, view(2)
51 colormap parula;
52 ejes = gca;
53 ejes.FontSize = 13;
54 title('Campo□propagado□con□Fourier')
55 xlabel('$x/w_{0}$','FontSize',20);
56 ylabel('$y/w_{0}$','FontSize',20);
57 axis square;
58
59
60 %*****Grafica del campo anal tico*****
61 U = exp(1i*k*L)/(1+1.5*1i).*exp(r.^2./zR.*k./2.*1i./(1.5-1i));
62 figure(2),subplot(1,2,2),surf(X(N/2+1,:)/w0,Y(:,N/2+1)/w0,abs(U));
    shading interp,lighting phong, view(2)
63 colormap parula; ejes = gca;
64 ejes.FontSize = 13;
65 title('Campo□Analitico')
66 xlabel('$x/w_{0}$','FontSize',20);
67 ylabel('$y/w_{0}$','FontSize',20);
68 axis square;

```

3.2. Ejercicio 1.b

```

1  % Propagador de Fourier
2  clear all; close all;
3  set(0,'defaultTextInterpreter','latex');
4
5  N = 2^10;                % Numero de puntos
6  % Creamos el vector de indices
7  NV = (-N/2:1:N/2-1);    % Con esto nos aseguramos de tener la
    frecuencia 0
8
9  L = 1e-3;                % y de que NV tiene N elementos
    % Las unidades son metros
10 dx = 2*L/N;
11 kmax = pi/dx;
12 [X,Y] = meshgrid(NV*dx);
13 [Kx,Ky] = meshgrid(kmax*2/N*NV);
14
15 lambda = 633e-9;
16 k = 2*pi/lambda;
17
18 r = sqrt(X.^2+Y.^2);
19 kt = sqrt(Kx.^2+Ky.^2);
20
21 w0 = 0.15e-3;            % Cintura del haz Gaussiano
22 zR = k*w0^2/2;
23 z = 1.5*zR;              %Distancia de propagaci n maxima en unidades de la
    distancia de Rayleigh

```

```

24  nz = 300;
25  dz = z/nz;
26
27  %*****Propagador*****
28  Prop = (exp(-1i*0.5*dz*(kt.^2)/k));           %Full paraxial propagator
29  %Prop = exp(i*dz*sqrt(k^2-kt.^2));           %Non paraxial propagator
30
31  %*****Perfil Inicial*****
32  flens = 0.05; %0.3*zR;
33  Tlens = exp(-1i*k/(2*flens)*r.^2);           % Funcion de
      transmitancia de lente
34  f = exp(-r.^2/w0^2).*Tlens;                 % Haz Gaussiano
35
36  Ur = zeros(N,nz+1);
37  U0 = f;
38  Ur(:,1) = U0(:,N/2+1);
39
40  %*****Inicia la propagacion*****
41  F = fftshift(fft2(U0));
42  for ii=1:nz
43      F = F.*Prop;
44      A = ifft2(F);
45      Ur(:,ii+1)=A(:,N/2+1);
46  end
47  %Ur = ifft2(Ur);
48
49  %*****Grafica del campo inicial*****
50  figure(2),subplot(1,2,1),surf(X(N/2+1,:)/w0,Y(:,N/2+1)/w0,abs(A));
      shading interp,lighting phong, view(2)
51  colormap parula;
52  ejes = gca;
53  ejes.FontSize = 13;
54  title('Campo propagado con Fourier')
55  xlabel('$x/w_{0}$','FontSize',20);
56  ylabel('$y/w_{0}$','FontSize',20);
57  axis square;
58
59
60  %*****Grafica del campo analitico*****
61  U = exp(1i*k*L)/(1i*(1.5-1i*(1-30*zR))).*exp(r.^2./zR.*k./3.*(1i
      -1/(1.5-1i*(1-30*zR))));
62  figure(2),subplot(1,2,2),surf(X(N/2+1,:)/w0,Y(:,N/2+1)/w0,abs(U));
      shading interp,lighting phong, view(2)
63  colormap parula; ejes = gca;
64  ejes.FontSize = 13;
65  title('Campo Analitico')
66  xlabel('$x/w_{0}$','FontSize',20);
67  ylabel('$y/w_{0}$','FontSize',20);
68  axis square;

```

3.3. Ejercicio 2.b

```

1  % Propagador de Fourier
2  clear all; close all;
3  set(0,'defaultTextInterpreter','latex');
4
5  N = 256*4;          % Numero de puntos, escogemos una potencia de
6                      % para que el calculo de la transformada sea
7                      % rapido
8
9  % Creamos el vector de indices
10 NV = (-N/2:1:N/2-1); % Con esto nos aseguramos de tener la
    frecuencia 0
11
12 w0 = 3e-3;          % Cintura del haz Gaussiano
13 L = 20*w0;          % Las unidades son metros
14
15 dx = 2*L/N;
16 kmax = pi/dx;
17 [X,Y] = meshgrid(NV*dx);
18 [Kx,Ky] = meshgrid(kmax*2/N*NV);
19
20 lambda = 632.8e-9;
21 k = 2*pi/lambda;
22
23 r = sqrt(X.^2+Y.^2);
24 kt = sqrt(Kx.^2+Ky.^2);
25 Phi = angle(X + 1i*Y);
26
27 zR = k*w0^2/2;
28 z = 1.5*zR;          %Distancia de propagacion maxima en unidades de la
    distancia de Rayleigh
29 nz = 300;
30 dz = z/nz;
31
32 %***** Propagador
    %*****
33 Prop = (exp(-1i*0.5*dz*(kt.^2)/k)); %Full paraxial propagator
34 %Prop = exp(1i*dz*sqrt(k^2-kt.^2)); %Non paraxial propagator
35
36 %***** Perfil Inicial
    %*****
37 flens = 0.3*zR;
38 Tlens = 1;
39 %Tlens = exp(-1i*k/(2*flens)*r.^2); % Funcion de
    transmitancia de lente
40 m = 0;
41 f = besselj(m,8665*r).*exp(1i*m*Phi).*exp(-r.^2/w0^2).*Tlens;
42
43 Ur = zeros(N,nz+1);
44 U0 = f;
45

```

```

46
47 %***** Grafica del campo inicial
   %*****
48 figure(1),subplot(2,2,1),surf(X(N/2+1,:)/w0,Y(:,N/2+1)/w0,abs(U0));
   shading interp,colormap parula, view(2)
49 %ejes = gca;
50 %ejes.FontSize = 13;
51 title('Campo_1$U_{1}$')
52 xlabel('$x_1/w_{0}$','FontSize',12);
53 ylabel('$y_1/w_{0}$','FontSize',12);
54 axis square;
55 axis([-3 3 -3 3]);
56
57 %***** Inicia la propagacion
   %*****
58 F = fftshift(fft2(U0));
59 for ii=1:nz
60     F = F.*Prop;
61     A = ifft2(F);
62     Ur(:,ii+1)=A(:,N/2+1);
63 end
64
65 %***** Grafica del campo propagado
   %*****
66 figure(1),subplot(2,2,3),surf(X(N/2+1,:)/w0,Y(:,N/2+1)/w0,abs(A));
   shading interp,colormap parula, view(2)
67 %ejes = gca;
68 %ejes.FontSize = 13;
69 title('Campo_2$U_{2}$Numerico')
70 xlabel('$x_2/w_{0}$','FontSize',12);
71 ylabel('$y_2/w_{0}$','FontSize',12);
72 axis square;
73 axis([-L/w0 L/w0 -L/w0 L/w0]);
74
75 figure(1),subplot(2,2,2),surf((0:dz:z)/zR,Y(:,N/2+1)/w0,abs(Ur)),
   shading interp,colormap parula, view(2);
76 %ejes = gca;
77 %ejes.FontSize = 13;
78 title('Propagacion_del_campo_en_$z$')
79 xlabel('$z/z_{R}$','FontSize',12);
80 ylabel('$y/w_{0}$','FontSize',12);
81 axis square;%axis tight;
82 %set(gcf, 'Position',[1400 900 900 400])
83 axis([0 1.5 -L/w0 L/w0]);
84
85
86 figure(1),subplot(2,2,4);
87 A = 1;
88 B = z;
89 C = 0;
90 D = 1;
91 q1 = -1i*k*w0^2/2;
92 q2 = (A*q1 + B)/(C*q1 + D);
93 k2 = 8665/(A+B/q1);

```

```

94 U2 = exp(1i*k*r.^2/(2*q2))./(A + B/q1).*besselj(m,k2*r).*exp(1i*m*Phi);
95 surf(X(N/2+1,:)/w0,Y(:,N/2+1)/w0,abs(U2)),shading interp,colormap
    parula, view(2);
96 %ejes = gca;
97 %ejes.FontSize = 13;
98 title('Campo_{$U_{2}$}_Analitico')
99 xlabel('$x_2/w_{0}$','FontSize',12);
100 ylabel('$y_2/w_{0}$','FontSize',12);
101 axis square;
102 axis([-L/w0 L/w0 -L/w0 L/w0]);
103 s = string(w0*10^3);
104 sgtitle('$\omega_0$' + s + ' mm, m=' + string(m));

```